

## مطالعه ترمودینامیکی پایانه کربوکسیل نوروتوکسین بوتولینوم تیپ E با روش طیف‌سنجی دورنگ‌نمایی دورانی

مصطفی رستمیان<sup>۱</sup>، سید جعفر موسوی<sup>۲\*</sup>، فیروز ابراهیمی<sup>۲</sup>

- کارشناس ارشد، ۲- استادیار دانشگاه جامع امام حسین (ع)

(دریافت: ۹۱/۰۲/۰۲، پذیرش: ۹۱/۱۲/۱۸)

### چکیده

به منظور پیشگیری از سندروم بوتولیسم، به تازگی محققین به استفاده از واکسن‌های نوترکیب توجه خاصی نشان داده‌اند. یکی از این واکسن‌ها، پروتئین نوترکیب حاوی ۹۳ اسید آمینه انتهای کربوکسیلی نوروتوکسین بوتولینوم تیپ E (rBoNT/E-HCC) است. در این تحقیق پس از بیان و تخلیص rBoNT/E-HCC، به بررسی اثر pH بر این پروتئین توسط طیف‌سنجی دورنگ‌نمایی دورانی (Circular Dichroism, CD) پرداخته شده و به دنبال آن مطالعات ترمودینامیکی به منظور یافتن شرایط بهینه تخلیص و سنجش امکان استفاده از این کاندید، واکسن به صورت خوراکی مورد بررسی قرار گرفته است. بدین منظور واسرشتگی حرارتی rBoNT/E-HCC در چهار pH مختلف (۲، ۵، ۷.۴ و ۹) توسط CD مورد بررسی قرار گرفته است. نتایج نشان داده که  $T_m$  و  $\Delta G^\circ$  پروتئین rBoNT/E-HCC در pHهای بازی نسبت به pHهای اسیدی بالاتر است. در نتیجه یافته‌های این تحقیق، بهترین شرایط تخلیص برای پروتئین rBoNT/E-HCC، شرایط با pH خنثی یا باز می‌باشد.

**کلیدواژه‌ها:** نوروتوکسین بوتولینوم تیپ E، واکسن نوترکیب، دورنگ‌نمایی دورانی، مطالعه ترمودینامیکی.

## Thermodynamic Study of Carboxy Terminal of Botulinum Neurotoxin Type E by Circular Dichroism Spectroscopy

M. Rostamian, S. J. Mousavy\*, F. Ebrahimi

Imam Hossein University

(Received: 21/04/2012; Accepted: 08/03/2013)

### Abstract

Nowadays for prevention of botulism syndrome, researchers have tended to use recombinant vaccines. One of these vaccines is a recombinant protein containing 93 amino acids of C-terminal of botulinum neurotoxin type E (rBoNT/E-HCC). In this study, after expression and purification of rBoNT/E-HCC, the effect of different pH on the protein was carried out by Circular dichroism (CD) spectrometry and followed by thermodynamics studies. The main goal was, to find the optimum purification condition for this protein and also to evaluate the possibility of using this protein as an oral vaccine. For this purpose, thermal denaturation of rBoNT/E-HCC was studied at four different pH (2, 5, 7.4, and 9) by CD. Our results indicated that  $T_m$  and  $\Delta G^\circ$  of rBoNT/E-HCC are higher in alkaline pH in comparison with acidic pH. Finally, our results suggest that; neutral or alkaline pH as the optimum pH for rBoNT/E-HCC purification.

**Keywords:** Botulinum Neurotoxin Type E, Recombinant Vaccines, Circular Dichroism, Thermodynamic Study.

\* Corresponding Author E-mail: mosavi@ihu.ac.ir

Passive Defence Sci. & Tech., 2013, 1, 31-38

حرارتی است که پارامترهای مختلف ترمودینامیکی از تجزیه و تحلیل این نوع واسرشتگی حاصل می‌شود. هر کدام از این پارامترهای ترمودینامیکی حاوی اطلاعات ارزشمندی در مورد ساختار، خصوصیات و یا فعالیت پروتئین می‌باشد. یکی از این پارامترها تغییرات انرژی آزاد گیبس ( $\Delta G$ ) است [۱۲]. تحت شرایط استاندارد، وقتی واکنشگرها و محصولات با غلظت ابتدایی  $M_1$  وجود دارند، نیروی پیش برنده سیستم به سمت تعادل، به صورت تغییرات انرژی آزاد گیبس استاندارد ( $\Delta G^\circ$ )، تعریف می‌شود [۱۳]. با تجزیه و تحلیل داده‌های حاصل از طیفسنجی دورنگ نمایی دورانی می‌توان این پارامتر را بدست آورد [۱۴].

از آنجایی که دانستن خصوصیات بیوفیزیکی- بیوشیمیابی هر کاندید واکسن به منظور حصول شرایط مناسب نگهداری، تخلیص، تزریق و امکان استفاده از آن به صورت خواراکی، از اهمیت حیاتی برخوردار است، در این مطالعه پس از بیان و تخلیص پروتئین  $r\text{BoNT/E-HCC}$  به بررسی اثر  $\text{pH}$  به عنوان یک پارامتر بسیار تأثیرگذار روی ساختار پروتئین، با روش طیفسنجی دورنگ نمایی دورانی (CD) پرداخته شده است. به عبارت دیگر هدف این مطالعه این بوده که بررسی شود چه  $\text{pH}$  برای نگهداری، تخلیص و تزریق این کاندیدای واکسن مناسب است و برای رسیدن به این هدف، مطالعات ترمودینامیکی به عنوان قدم اولیه انتخاب شده است. بدین منظور واسرشتگی حرارتی  $r\text{BoNT/E-HCC}$  در چهار  $\text{pH}$  مختلف (۵، ۲، ۷/۴ و ۹) توسط CD بررسی شده و به دنبال آن پارامترهای ترمودینامیکی با تجزیه و تحلیل داده‌ها به دست آمده است.

## ۲. مواد و روش‌ها

### ۲-۱. مواد شیمیابی و زیستی

اکریل آمید، بیس‌اکریل آمید، SDS، اوره، اسید کلریدریک، کلرید سدیم، ایزوپروپانول، کوماسی برلیان بلو ۲۵۰-R، هیدروکسید سدیم، اسید استیک گلاسیال، متانول، اتانول، Tris-base، ایزوپروپیول تیو-D-۳-الاکتوپیروانوزید<sup>۱</sup> (IPTG)، پلی اکریل آمید و آمونیوم E. coli BI21 باکتری پرسولفات از شرکت مرک آلمان تهیه شدند. باکتری E. coli BI21 pET-32a (+) دارای ژن مربوط به  $r\text{BoNT/E-HCC}$  از دکتر سید لطیف موسوی [۱۱] گرفته شد.

### ۲-۲. بیان ژن و تخلیص پروتئین نوترکیب

باکتری E. coli BI21 حاوی وکتور (+) دارای ژن مربوط به  $r\text{BoNT/E-HCC}$  در محیط کشت LB مایع<sup>۲</sup> حاوی آنتی بیوتیک آمپیسیلین با غلظت نهایی  $40 \mu\text{g/ml}$  تلقیح و در دمای ۳۷ درجه سانتی گراد با سرعت ۱۵۰-۱۷۰ دور در دقیقه در شیکرانکوباتور کشت داده شدند. پس از رسیدن مقدار جذب نوری لوله‌ها به  $0/5$  در طول موج ۶۰۰ نانومتر، به هر کدام از لوله‌های تست، IPTG با غلظت

### ۱. مقدمه

بوتولیسم نوعی فلچ عضلانی خطرناک است. دویینی و تاری دید در مراحل اولیه بیماری و در مراحل بعدی، فلچ پیش‌رونده عضلانی و گسترش آن به عضلات تنفسی و در نهایت مرگ از علائم این بیماری هستند [۱]. عامل اصلی بوتولیسم نوروتوكسین‌هایی هستند که از سه ناحیه عملکردی تشکیل شده‌اند که عبارتند از: ناحیه کاتالیتیک، ناحیه انتقال دهنده و ناحیه اتصال دهنده. این نوروتوكسین پس از عبور از خون در مجاورت پایانه‌های عصبی قرار گرفته و از طریق ناحیه اتصال دهنده به گیرنده خود متصل می‌شود. سپس ناحیه انتقال دهنده باعث ورود نوروتوكسین به پایانه عصبی می‌شود. در آنجا ناحیه کاتالیتیک سم با فعالیت آنزیمی وابسته به  $Zn^{2+}$  پروتئین‌های غشایی مانند<sup>۳</sup> SNAP-25 و VAMP را می‌شکند. بدین ترتیب حذف این پروتئین‌ها، باعث عدم ترشح استیل کولین، متعاقب آن عدم انتقال پیام عصبی و در نهایت فلچ عضلانی می‌شود [۲ و ۳].

امروزه تحقیقات بسیار گسترده‌ای به منظور دست‌یابی به واکسن مناسب بر علیه این نوروتوكسین‌ها انجام می‌گیرد. پژوهشگران و دانشمندان، تحقیق بر روی واکسن‌های نوترکیب را به دلیل مشکلات مربوط به واکسن‌های توکسوئیدی در اولویت اول تحقیقات خود قرار داده‌اند [۴ و ۵]. یکی از این نوع واکسن‌ها، پروتئین‌های نوترکیب مشتق از ناحیه اتصال دهنده می‌باشد. گمان بر این است که آنتی پادی‌های ضد این پروتئین نوترکیب می‌توانند باعث خنثی‌سازی اثر نوروتوكسین بوتولینوم شوند [۶ و ۹].

سالانه بررسی‌های فراوانی روی انواع مختلف کاندیدهای واکسن بوتولیسم و امکان استفاده از آن‌ها به صورت خواراکی انجام می‌شود [۱۰]. با توجه به اهمیت ناحیه اتصال دهنده در اتصال سم به نورون‌ها، بررسی روی این ناحیه به عنوان کاندید واکسن مورد توجه محققین است. یکی از این نوع کاندید واکسن‌ها، پروتئین نوترکیبی مشتشکل از ۹۳ اسید آمینه انتهای کربوکسیلی زیر واحد اتصال دهنده نوروتوكسین بوتولینوم تیپ E در باکتری E.coli BI21(DE3) می‌باشد. ژن این E.coli BI21(DE3) کلون شده بود [۱۱]، در اختیار ما قرار گرفته است.

حال طبیعی پروتئین حاصل تعادلی بین نیروهای ضعیف متعددی است که به راحتی تحت تأثیر دما و شرایط محیط اطراف آن (پارامترهایی از قبیل  $\text{pH}$ ، قدرت یونی و ...) قرار می‌گیرد. از هم گسیختن ساختار سوم پروتئین که همراه با از دست دادن فعالیت پروتئین است را واسرشتگی<sup>۴</sup> می‌نامند. امروزه با اهداف متعددی، واسرشتگی پروتئین مورد مطالعه قرار می‌گیرد، اما هدف اصلی اکثر این مطالعات، کسب اطلاعات بیشتر در مورد ساختار، خصوصیات و فعالیت پروتئین است. یکی از مهم‌ترین انواع واسرشتگی، واسرشتگی

<sup>1</sup> Synaptosomal Associated Protein- 25

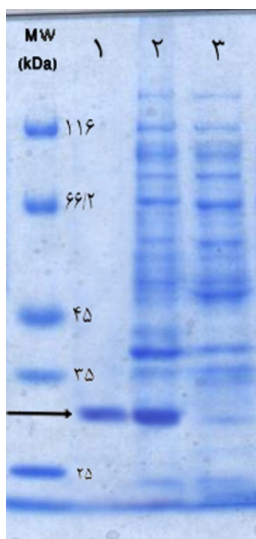
<sup>2</sup> Vesicle Associated Membrane Protein

<sup>3</sup> Denaturation

<sup>4</sup> Isopropyl-1-Thio-β-D Galactopyranoside, IPTG

<sup>5</sup> LB Broth

عدم حضور آن بیانی از خود نشان ندادند. برای تخلیص این پروتئین از ستون تمایلی Ni-NTA استفاده شد که نتایج قابل قبولی داشت. پروتئین نوترکیب با خلوص بهنسبت بالا، پس از افزودن بافر شستشو، ۱۰۰ میلی مولار NaH<sub>2</sub>PO<sub>4</sub>, ۱۰ میلی مولار Tris-HCl، ۱۰ میلی مولار، اوره ۸ مولار، pH ۴/۵ از ستون خارج شد (شکل ۱).



شکل ۱. تصویر ژل SDS-PAGE ۱۲ درصد از بیان و تخلیص پروتئین rBoNT/E-HCC ردیف ۱ پروتئین تخلیص شده rBoNT/E-HCC با ستون کروماتوگرافی نیکل، ردیف ۲ و ۳، به ترتیب کلتهای القاء شده و القاء نشده با IPTG و ردیف MW استاندارد اوزان مولکولی را نشان می‌دهند. فلش باند پروتئینی مربوط به rBoNT/E-HCC (~۳۰ kDa) را نشان می‌دهد.

### ۲-۳. مطالعات و اسرشتگی حرارتی rBoNT/E-HCC در شرایط مختلف (مطالعات دو رنگ نمایی دورانی)

به منظور مطالعه و اسرشتگی حرارتی rBoNT/E-HCC با استفاده از rBoNT/E-HCC محلول‌های CD مقداری HCC در طول موج‌های ۲۶۰ nm-۱۹۰ nm در محدوده دمایی ۲۵-۸۰ °C با سرعت روبشی ۰/۵ در دقتیه ثبت شد. برای مطالعه پایداری پروتئین با CD می‌توان و اسرشتگی پروتئین را در طول موج ۲۲۲ nm (معیاری از و اسرشتگی مارپیچ‌های آلفا) و طول موج ۲۱۷ nm (معیاری از و اسرشتگی صفحات بتا) [۲۲ و ۲۲] و [۱۴] مورد مطالعه قرار داد.

**مطالعات دو رنگ نمایی دورانی روی مارپیچ آلفا: و اسرشتگی حرارتی** مربوط به مارپیچ آلفای پروتئین مورد نظر با اندازه‌گیری تغییرات بیضی‌واری آ در طول موج ۲۲۲ nm [۱۴]. نتایج و اسرشتگی حرارتی پروتئین rBoNT/E-HCC در pH ۷/۴، ۵، ۲ و ۹ در شکل (۲) نشان داده شده است. همچنین شکل (۳) نشان دهنده تغییرات مشتق درجه اول ( $\Delta\theta/\Delta T$ ) بر علیه دما مربوط به

طول موج ۶۰۰ نانومتر، به هر کدام از لوله‌های تست، IPTG با غلظت نهایی ۱ میلی مولار اضافه و به لوله‌های شاهد، IPTG اضافه نشد. سپس لوله‌های شاهد و تست به مدت شش ساعت در شیکرانکوباتور با دمای ۳۷ درجه سانتی‌گراد و سرعت ۱۵۰ دور در دقیقه گرمایش داده شدند. سپس سلول‌ها با سانتریفیوژ (۱۰ دقیقه، ۵۰۰۰ دور در دقیقه) جمع‌آوری شدند [۱۵-۱۸]. سلول‌های جمع‌آوری شده با بافر لیز کننده (۱۰۰ میلی مولار، ۱۰ Tris-HCl، ۱۰۰ میلی مولار، اوره ۸ مولار و pH ۸) مخلوط و از طریق سونیکاسیون با قدرت ۷۰ درصد و ۵/۰ پالس در چهار چرخه زمانی (هر کدام شامل ۱۵ ثانیه سونیکاسیون و ۴۵ ثانیه استراحت درون بین) شکسته شدند. سپس نمونه‌ها به مدت ۲۰ دقیقه با سرعت ۱۴۰۰ دور در دقیقه سانتریفیوژ شده و محلول روبی با نسبت یک به پنج با بافر نمونه دارای غلظت ۵× مخلوط و به مدت پنج دقیقه در دمای ۱۰۰ درجه سانتی‌گراد جوشانده شد [۱۵]. در نهایت نمونه‌های تیمار شده به روش‌های فوق، توسط ژل الکتروفورز<sup>۱</sup> ۱۲ SDS-PAGE، از لحاظ بیان پروتئین‌های نوترکیب بررسی شدند. برای مشاهده پاندهای پروتئین، از روش رنگ آمیزی با کومامی بلو استفاده شد. به منظور تخلیص پروتئین نوترکیب طبق پروتکل تخلیص توسط ستون کروماتوگرافی Ni-NTA، از ستون نیکل استفاده گردید [۱۹]. به منظور تعیین غلظت پروتئین موجود در محلول‌های به دست آمده حاصل از مرحله قبل از روش برادفورد [۲۰] استفاده شد.

### ۲-۴. مطالعات و اسرشتگی حرارتی

واسرشتگی حرارتی محلول‌های rBoNT/E-HCC با استفاده از دستگاه اسپکتروپلاریمتر Jasco مدل J-۸۱۰ با استفاده از کوتوله کوارتز با قطر ۲ mm انجام گرفت. کنترل دما توسط کنترل کننده دما دستگاه انجام شد. مقداری CD محلول‌های rBoNT/E-HCC با غلظت حدود ۰/۲ mg/ml در طول موج‌های ۲۶۰ nm-۱۹۰ nm در ۰/۲ mg/ml محدوده دمایی ۲۵-۸۰ °C با سرعت روبشی ۰/۵ در دقیقه ثبت شد [۲۱]. در تمام نمونه‌ها غلظت پروتئین حدود ۰/۲ mg/ml در حضور بافر (Tris-base(۱۰ mM), NaH<sub>2</sub>PO<sub>4</sub>(۱۰ mM)) در چهار pH (۵، ۲، ۷/۴ و ۹) مورد مطالعه بود. از کوتوله حاوی بافر بدون پروتئین به عنوان کنترل منفی استفاده شد. نمودارهای به دست آمده توسط برنامه ماکروسافت اکسل<sup>۲</sup> رسم شدند.

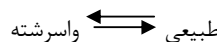
### ۳. نتایج و بحث

#### ۳-۱. بیان ژن و تخلیص پروتئین rBoNT/E-HCC

برای بیان این ژن در کاست (+) pET32a(+) با نشان هگزا هیستیدین در انتهای آمینی ژن، از میزبان E.coliBL21 استفاده شد. همان‌طور که در الگوی الکتروفورز پلی آکریل آمید (SDS-PAGE) (شکل ۱) دیده می‌شود، کلتهایی که ترانسفورم شده بودند، در حضور IPTG به عنوان القاء کننده پروموترهای تحت کنترل T7، بیان داشته‌اند و در

<sup>۱</sup> Sodium Dodecyl Sulfate Polyacrylamide Gel Electrophoresis

<sup>۲</sup> Microsoft Excel



می توان تغییرات انرژی آزاد گیبس استاندارد ( $\Delta G^\circ$ ) را از روابط زیر به دست آورد [۱۲]:

$$F_d = \frac{Y_N - Y_{obs}}{Y_N - Y_D} \quad (1)$$

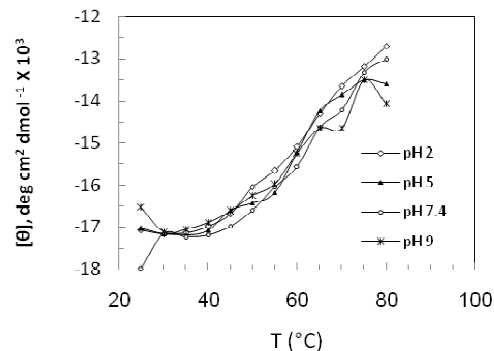
$$K = \frac{F_d}{1 - F_d} = \frac{Y_N - Y_{obs}}{Y_{obs} - Y_D} \quad (2)$$

$$\Delta G^\circ = -RT \ln K = -RT \ln \frac{Y_N - Y_{obs}}{Y_{obs} - Y_D} \quad (3)$$

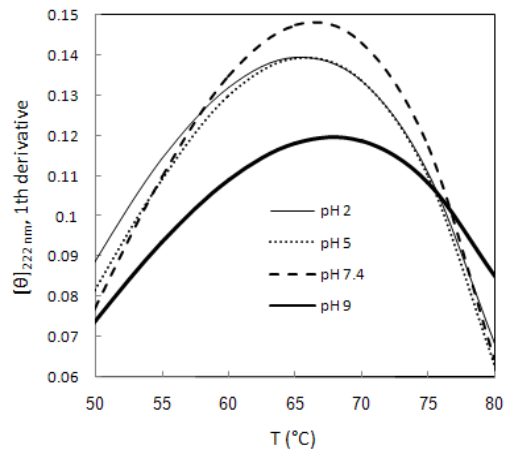
در این معادله ها  $R$  ثابت جهانی گازها ( $8.314\text{ J/K mol}$ ) بحسب ژول بر مول بر کلوین)،  $T$  دمای مطلق (بر حسب کلوین)  $Y_{obs}$  مقدار بیضی واری مشاهده شده و ثبت شده توسط دستگاه CD طی افزایش دما،  $Y_N$  و  $Y_D$  به ترتیب مقدار بیضی واری مشاهده شده در حالت طبیعی و واسرشه پروتئین، و  $K$  ثابت اتصال را نشان می دهد.

نمودار  $\Delta G$  در مقابل دما عموماً به شکل یک نمودار زنگوله ای شکل است که در بسیاری از پروتئین ها قله آن در بین دمای  $20\text{ }^\circ\text{C}$  تا  $40\text{ }^\circ\text{C}$  قرار می گیرد [۱۲]. طبق تعریف،  $\Delta G$  پروتئین در شرایط استاندارد (فشار یک اتمسفر، غلظت یک میلی مولار واکنش دهنده ها و دمای  $25\text{ }^\circ\text{C}$ ) را تغییرات انرژی آزاد گیبس استاندارد ( $\Delta G^\circ$ ) پروتئین می نامند. ولی می توان  $\Delta G^\circ$  را در دمای های مختلف به دست آورد و نمودار  $\Delta G^\circ$  بر علیه دما را رسم کرد. در صورتی که هدف یک تحقیق، مقایسه چندین پروتئین (یا یک پروتئین در شرایط مختلف) باشد، می توان  $\Delta G^\circ$  پروتئین در دمای  $25\text{ }^\circ\text{C}$  را به عنوان  $\Delta G^\circ$  مقایسه ای در نظر گرفت (با برونو یابی نمودار  $\Delta G^\circ$  بر علیه دما می توان  $\Delta G^\circ$  پروتئین را در دمای  $25\text{ }^\circ\text{C}$  به دست آورد که همان  $\Delta G^\circ$  مقایسه ای پروتئین است) [۲۲]. هر چه  $\Delta G^\circ$  حالت طبیعی پروتئین مثبت تر باشد، دمای بیشتری برای واسرشه گی پروتئین مورد نیاز می باشد و در نتیجه پروتئین پایدارتر است [۱۳]. با اقتباس از داده های حاصل از شکل (۲) و معادله (۳)، نمودار های تغییرات انرژی آزاد گیبس استاندارد ( $\Delta G^\circ$ ) در مقابل دما رسم گردیدند (شکل ۴). با برونو یابی نمودار  $\Delta G^\circ$  بر علیه دما،  $\Delta G^\circ$  پروتئین در  $25\text{ }^\circ\text{C}$   $\Delta G^\circ$  مقایسه ای) به دست آمد. مقایسه تغییرات انرژی آزاد گیبس استاندارد ( $\Delta G^\circ$ ) در دمای  $25\text{ }^\circ\text{C}$  درجه سانتی گراد به عنوان معیاری از پایداری پروتئین rBoNT/E-HCC در pH های مختلف در جدول (۱)، ستون دوم آورده شده است. داده های این جدول نشان می دهد که پروتئین در  $pH = 9/0$  تغییرات انرژی آزاد مثبت بزرگ تری ( $+16.2\text{ kJ/mol}$ ) نسبت به سایر pH ها دارد که نشان دهنده پایداری بیشتر پروتئین در این pH است. به همین ترتیب تغییرات انرژی آزاد گیبس استاندارد در pH های  $7/4$  و  $5$  نیز از  $2/0$  pH بیشتر است که نشان می دهد پروتئین در این دو pH هم نسبت به  $2/0$  pH پایدارتر است. مقدار  $T_m$  پروتئین را می توان از نمودار های  $\Delta G^\circ$  بر علیه دما نیز به دست آورد. در این نمودارها دمایی که در آن  $\Delta G^\circ$  برابر صفر است، برابر  $T_m$  پروتئین است [۱۲]. بنابراین با توجه به این امر از طریق

هر کدام از منحنی های شکل (۲) می باشد. نقاط بیشینه در این پروفایل نشان دهنده دمای واسرشه گی ( $T_m$ ) می باشد.  $T_m$  پروتئین rBoNT/E-HCC در pH های  $2, 5, 7/4, 6, 5$  و  $9$  به ترتیب  $66/5, 65, 65$  و  $68$  بود. این نتایج نشان می دهد که  $T_m$  مربوط به پروتئین درجه و نسبت به pH های  $2$  و  $5$ ، سه درجه سانتی گراد بالاتر می باشد. این افزایش در  $T_m$  بیانگر آن است که پروتئین rBoNT/E-HCC pH های بازی نسبت به pH های اسیدی پایداری حرارتی بیشتری دارد.



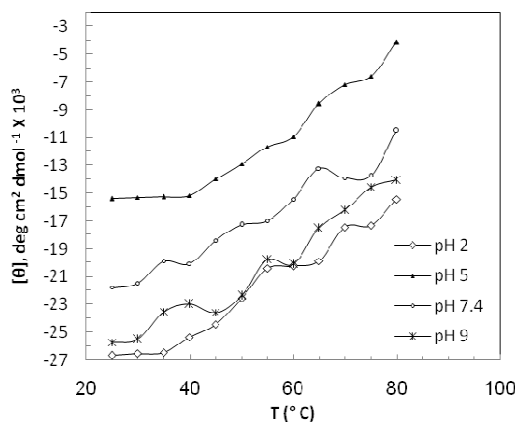
شکل ۲. نمودار واسرشه گی حرارتی پروتئین rBoNT/E-HCC در شرایط pH مختلف با کاوش واسرشه گی حرارتی مارپیچ آلفا در  $222\text{ nm}$  با rBoNT/E-HCC با غلظت حدود  $200\text{ }\mu\text{g/ml}$  در بافر  $\text{NaH}_2\text{PO}_4(100\text{ mM})$  (Tris-base $(10\text{ mM})$ ) با pH های  $2, 5, 7/4, 6$  و  $9$  قرار دارد. واسرشه گی با اندازه گیری بیضی واری در طول موج  $222\text{ nm}$  با سرعت گرمایش  $0.5^\circ\text{C/min}$  صورت پذیرفت.



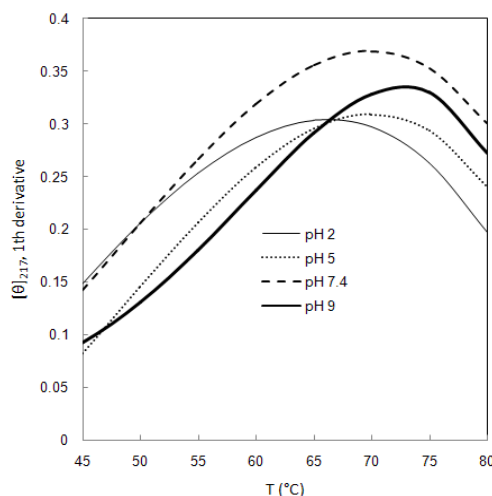
شکل ۳. نمودار تغییرات مشتق درجه اول تغییرات بیضی واری ( $\Delta\theta/\Delta T$ ) در  $222\text{ nm}$  نسبت به تغییرات دما. مربوط به منحنی های واسرشه گی حرارتی پروتئین rBoNT/E-HCC در pH های مختلف. نقاط بیشینه در این پروفایل نشان دهنده  $T_m$  است.

تعیین پارامترهای ترمودینامیکی پروتئین با آنالیز داده های حرارتی مارپیچ آلفا: با فرض اینکه پروتئین مورد نظر از مدل انتقال دو حالت (Two-State Transition) زیر پیروی کند:

نسبت به pH=۹/۰ در rBoNT/E-HCC در pH=۷/۴ نسبت به ۷/۴ در و نیم درجه و نسبت به pHهای ۵ و ۲ به ترتیب سه و نیم و پنج و نیم درجه سانتی گراد بالاتر است. این افزایش در  $T_m$  بیانگر این است که پروتئین rBoNT/E-HCC در pHهای بازی نسبت به pHهای اسیدی پایداری حرارتی بیشتری دارد. نتایج حاصل با نتایج مطالعات دو رنگ نمایی روی مارپیچ آلفا تطابق دارد.



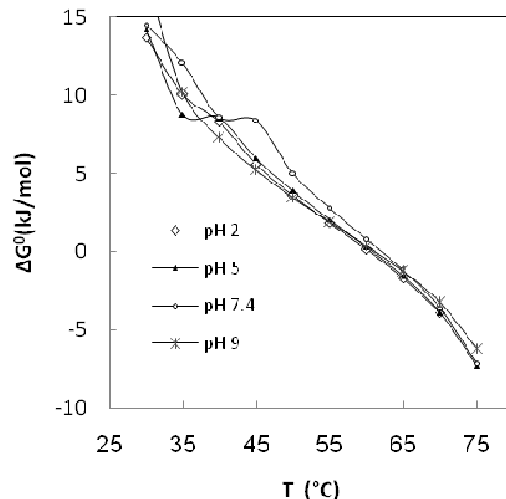
شکل ۵. نمودار واسرشتگی حرارتی پروتئین rBoNT/E-HCC در شرایط pH مختلف با کاوش واسرشتگی حرارتی صفحه بتا در ۲۱۷ nm. پروتئین rBoNT/E-HCC با غلظت حدود ۲۰۰ µg/ml در بیافر Tris-base (۰ mM)، NaH<sub>2</sub>PO<sub>4</sub> (۰ mM) pHهای ۲، ۵، ۷/۴، ۵، ۷/۴، ۹ و ۹ در مقابله با اندازه گیری بیضیواری در طول موج ۲۱۷ nm با قرارداد. واسرشتگی با اندازه گیری بیضیواری در طول موج ۲۱۷ nm با سرعت گرمایش ۰/۵°C/min صورت پذیرفت.



شکل ۶. نمودار تغییرات مشتق درجه اول تغییرات بیضیواری ( $\Delta\theta/\Delta T$ ) در ۲۱۷ nm نسبت به تغییرات دما. مربوط به منحنی های واسرشتگی حرارتی پروتئین rBoNT/E-HCC در pHهای مختلف. نقطه بیشینه در این پروفایل نشان دهنده  $T_m$  است.

تعیین پارامترهای ترمودینامیکی پروتئین با آنالیز داده های حرارتی صفحه بتا: با توجه به داده های حاصل از شکل (۵) و معادله (۳) نتایج تغییرات انرژی آزاد گیبس استاندارد ( $\Delta G^\circ$ ) بر

(جدول ۱، ستون چهارم). در اینجا هم مشاهده می شود که با افزایش pH از ۲ تا ۹  $T_m$  پروتئین افزایش می یابد.



شکل ۴. نمودار تغییرات انرژی آزاد ( $\Delta G^\circ$ ) باز شدن پروتئین- rBoNT/E-HCC (در pHهای ۲، ۵، ۷/۴ و ۹) در مقابل دما طبق داده های حاصل از (۲).

جدول ۱. انرژی آزاد گیبس استاندارد ( $\Delta G^\circ$ ) پروتئین  $T_m$  در pHهای مختلف. مقایسه انرژی آزاد گیبس استاندارد ( $\Delta G^\circ$ ) (دماهای ۲۵°C) مارپیچ های آلفا و صفحات بتا پروتئین rBoNT/E-HCC در pHهای ۲، ۵ و ۹ به ترتیب از راست در ستون دوم و سوم آورده شده است. پروتئین  $T_m$  از نتایج داده های  $\Delta G^\circ$  بر علیه دما در نقطه صفر =  $\Delta G^\circ$  حاصل از مطالعه روی مارپیچ آلفا و صفحات بتا به ترتیب در ستون های چهارم و پنجم آورده شده است.

$T_{m\beta}$ (°C)	$T_{m\alpha}$ (°C)	$\Delta G^\circ_\beta$ (۲۵°C) kJ/mol	$\Delta G^\circ_\alpha$ (۲۵°C) kJ/mol	pH
۵۴/۴	۵۹/۶	۹/۸	۱۴/۸	۲/۰
۵۶/۶	۵۹/۸	۱۰/۰	۱۵/۱	۵/۰
۵۶/۶	۶۱/۲	۱۰/۲	۱۶/۰	۷/۴
۵۷/۲	۶۱/۴	۱۱/۰	۱۶/۲	۹/۰

مطالعات دو رنگ نمایی دورانی روی صفحات بتا: واسرشتگی حرارتی مربوط به صفحه بتا پروتئین مورد نظر با اندازه گیری تغییرات بیضیواری در طول موج ۲۱۷ nm انجام گرفت [۲۲ و ۱۲]. نتایج ۷/۴، ۵، ۲ و ۹ در شکل (۵) نشان داده شده است. همچنین شکل (۶) نشان دهنده تغییرات مشتق درجه اول ( $\Delta\theta/\Delta T$ ) بر علیه دما مربوط به هر کدام از منحنی ها است. نقاط بیشینه در این پروفایل نشان دهنده  $T_m$  می باشد. دمای واسرشتگی ( $T_m$ ) پروتئین rBoNT/E-HCC در pHهای ۲، ۵، ۷/۴ و ۹ به ترتیب ۷۶، ۶۸، ۶۶ و ۶۹°C بود.

این نتایج نشان می دهد که  $T_m$  مربوط به پروتئین

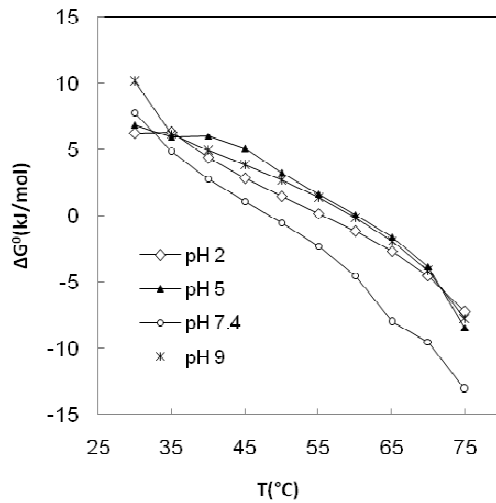
پروتئین در pH های مختلف در نظر گرفته شد. مقایسه  $\Delta G^\circ$  حاصل از بررسی های روی مارپیچ های آلفا و صفحات بتا پروتئین rBoNT/E-HCC نشان داد که این پروتئین در pH=۹/۰ دارای بیشترین مقدار  $\Delta G^\circ$  مثبت ( $16/2 \text{ kJ/mol}$ ) با بررسی روی مارپیچ آلفا و  $1 \text{ kJ/mol}$  با بررسی روی صفحات بتا) و در pH=۲/۰ دارای کمترین مقدار  $\Delta G^\circ$  مثبت ( $14/8 \text{ kJ/mol}$ ) با بررسی روی مارپیچ های آلفا و  $+9/8 \text{ kJ/mol}$  با بررسی روی صفحات بتا) است.  $\Delta G^\circ$  محاسبه شده در pH های  $5/4$  و  $7/4$  مابین این دو مقدار قرار گرفت. در نمودارهای  $\Delta G^\circ$  بر علیه دما، دمایی که در آن  $\Delta G^\circ$  برابر صفر  $T_m$  می باشد، برابر  $T_m$  پروتئین است. با در نظر گرفتن این حقیقت، پروتئین با آنالیز داده های نمودارهای  $\Delta G^\circ$  علیه دما به دست آمد و نتایج نشان داد که  $T_m$  پروتئین در pH های بازی بیشتر از pH های اسیدی و خنثی است (جدول ۱، ستون های چهارم و پنجم). در کل داده های حاصل از نمودارهای  $\Delta G^\circ$  علیه دما نشان داد که پروتئین pH در rBoNT/E-HCC دارای مطالعه شده بالاتر، پایدارتر می شود.

همچنین این نتایج نشان می دهد که پروتئین rBoNT/E-HCC در pH های خنثی و بازی از لحاظ پایداری چندان تفاوتی با هم ندارند  $\Delta G^\circ$  نزدیک به هم دارند) در حالی که کاهش  $T_m$  و  $\Delta G^\circ$  پروتئین در pH=۲/۰ نسبت به سایر pH ها مشاهده شد. بنابراین نتایج pH کلی نشان دهنده اثر ناپایداری pH های بسیار پایین که معیاری از rBoNT/E-HCC دستگاه گوارش (معده) هست، بر روی پروتئین بسیار می باشد. این تغییرات ممکن است در اینمی زایی پروتئین نیز اثرگذار باشد. بنابراین توصیه می شود که مطالعات ایمونولوژیکی نیز بر روی این پروتئین به منظور بررسی احتمال استفاده از این پروتئین به عنوان واکسن به صورت خوارکی، انجام گیرد، و در نهایت طبق این بررسی به نظر می رسد که بهترین حالت به منظور تخلیص، تزریق و نگهداری این پروتئین شرایط pH خنثی یا بازی باشد.

## ۵. مراجع

- [1] Novak, J.; Peck, M.; Juneja, V.; Johnson, E. "Clostridium Botulinum and Clostridium Perfringens in: Foodborne Pathogens"; Microbiol. Mol. Biol. R. 2005, 40, 383–407.
- [2] Li, L.; Singh, B. "Structure– Function Relationship of Clostridial Neurotoxins"; J. Toxicol. Toxin. Rev. 1999, 18, 95-112.
- [3] Simpson, L. "Identification of Major Steps in Botulinum Toxin Action"; Annu. Rev. Pharmacol. 2004, 44, 161-193.
- [4] Smith, L. "Development of Recombinant Vaccines for Botulinum Neurotoxin"; Toxicol. 1998, 36, 1539–1548.
- [5] Janice, M.; Rusnak, A.; Smith, L. "Botulinum Neurotoxin Vaccines Past History and Recent Developments"; Hum. Vaccines 2009, 5, 794-805.
- [6] Baldwin, M.; Tepp, W.; Przedpelski, A.; Pier, C.; Bradshaw, M.; Johnson, E.; Barbieri, J. "Subunit Vaccine Against the Seven Serotype of Botulism"; Infect. Immun. 2008, 76, 1314-1318.
- [7] Dolicbek, B.; Steward, L.; Aoki, K.; Atassi, M. "Immune Recognition of Botulinum Neurotoxin B: Antibody-Binding Region on the Heavy Chain of the Toxin"; Mol. Immunol. 2007, 45, 910-924.
- [8] Baldwin, M.; Tepp, W.; Pier, C.; Bradshaw, M.; Hao, M.; Wilson, B.; Fritz, R.; Johnson, E.; Barbieri, J. "Characterization of the Antibody Response to the Receptor Binding Domain of

علیه دما رسم شدند (شکل ۷). مقایسه هی تغییرات انرژی آزاد گیبس استاندارد ( $\Delta G^\circ$ ) (دما ۲۵ درجه سانتی گراد) به عنوان معیاری از پایداری پروتئین rBoNT/E-HCC در pH های مختلف در جدول (۱)، ستون سوم آورده شده است. داده های این جدول نشان می دهد که پروتئین در pH=۹/۰  $\Delta G^\circ$  تغییرات انرژی آزاد مثبت بزرگ تری (+۱۱ kJ/mol) نسبت به سایر pH ها دارد که نشان دهنده پایداری پروتئین در این pH است. به همین ترتیب تغییرات انرژی آزاد گیبس استاندارد در pH های  $7/4$  و  $5$  نیز از  $pH=2/0$   $\Delta G^\circ$  بیشتر است که نشان می دهد پروتئین در این دو pH هم نسبت به pH=۲/۰ پایدارتر است. مقادیر  $T_m$  از نمودارهای  $\Delta G^\circ$  بر علیه دما نیز محاسبه شد (جدول ۱، ستون پنجم)، در اینجا هم مشاهده می شود که با افزایش pH از ۲ تا ۹ مقدار  $T_m$  پروتئین افزایش می یابد.



شکل ۷. نمودار تغییرات انرژی آزاد ( $\Delta G^\circ$ ) بازشدن پروتئین rBoNT/E-HCC در pH های  $2/0$ ،  $5$  و  $7/4$  در مقابل دما طبق داده های حاصل از شکل (۱).

## ۴. نتیجه گیری

مطالعات گذشته نشان داده که سه کامل بوتولیسم تیپ C در مقابل شرایط دستگاه گوارش مقاوم است [۲۳]. بر اساس این پژوهش، این پرسش پیش می آید که آیا ممکن است ساختار پروتئین های نوترکیب مشتق از سه بوتولیسم نیز در مقابل شرایط دستگاه گوارش دچار تغییر نشود؟ به منظور بررسی این مسئله در مورد پروتئین rBoNT/E-HCC و همچنین یافتن شرایط pH مناسب برای تخلیص، تزریق و نگهداری این کاندید واکسن، در این تحقیق چندین pH مختلف ( $2/0$ ،  $5$ ،  $7/4$  و  $9$ ) مورد مطالعه قرار گرفت. نتایج حاصل از دو رنگ نمایی دورانی مارپیچ های آلفا و صفحات بتا نشان داد که پروتئین rBoNT/E-HCC در pH های بازی پایدارتر است.

در این تحقیق،  $\Delta G^\circ$  محاسبه شده در دما ۲۵ درجه سانتی گراد (با برونویابی نمودار  $\Delta G^\circ$  بر علیه دما) به عنوان  $\Delta G^\circ$  مقایسه های

- [16] Bollag, D. M.; Rozicki, M. D.; Edelstein, S. J. "Protein Methods"; 3th Printing, Chapters: 2, 3, 6, and 8. Wiley-Liss: New York, 1992.
- [17] Wingfield, P.; Palmer, I.; Liang, S. "Folding and Purification of Insoluble (Inclusion-Body) Proteins from *Escherichia Coli*"; Curr. Protoc. Protein Sci. 2001; Chapter 6:Unit 6.5.
- [18] Ahmed, S. A.; Smith, L. A. "Light Chain of Botulinum a Neurotoxin Expressed As an Inclusion Body from Asynthetic Gene is Catalytically and Functionally Active"; J. Protein. Chem. 2000, 19, 475-487.
- [19] Crowe, J.; Masone, B. S.; Ribbe, J. "One-Step Purification of Recombinant Proteins with the 6xhis Tag and Ni-NTA Resin"; Mol. Biotech. 1995, 4, 247-58.
- [20] Bradford, M. M. "A Rapid and Sensitive Method for the Quantitation of Microgram Quantities of Protein Utilizing the Principle of Protein Dye Binding"; Anal. Biochem. 1976, 72, 248-254.
- [21] Benjwal, S.; Verma, S.; Klaus-Heinrich, R.; Gursky, O. "Monitoring Protein Aggregation During Thermal Unfolding in Circular Dichroism Experiments"; Protein Sci. 2006, 15, 635-639.
- [22] Karbassi, F.; Haghbeen, K.; Saboury, A. A.; Rezaei-Tavirani, M.; Ranjbar, B. "Calorimetric, Spectrophotometric and Circular Dichroism Studies on the Impact of Sodium Dodecyl Sulfate on the Mushroom Tyrosinase Structure"; Biol. Bratislava 2004, 59, 319-326.
- [23] Kiyatkin, N.; Andrew, B.; Lance, L. "Induction of an Immune Response by Oral Administration of Recombinant Botulinum Toxin"; Infect. and Immun. 1997, 12, 4586-4591.
- [24] Botulinum Neurotoxin Serotypes A and E"; Infect. Immun. 2005, 73, 6998-7005.
- [9] Atassi, M.; Dolimbek, B. "Mapping of the Antibody-Binding Regions on the HN-Domain (Residues 449-859) of Botulinum Neurotoxin A with Antitoxin Antibodies from Four Host Species. Full Profile of the Continuous Antigenic Regions of the H-Chain of Botulinum Neurotoxin A"; Protein J. 2004, 23, 39-52.
- [10] Mestecky, J. "The Common Mucosal Immune System and Current Strategies for Induction of Immune Response in External Secretions"; J. Clin. Immunol. 1987, 7, 265-276.
- [11] Agheli Mansour, A.; Mousavi, S. L.; Rasooli, I.; Nazarian, S.; Amani, J.; Farhad, N. "Cloning, High Level Expression and Immunogenicity of 1163-1256 Residues of C-Terminal Heavy Chain of C. Botulinum Neurotoxin Type E"; Biologicals 2010, 38, 260-264.
- [12] Saboury, A. A.; Moosavi-Movahedi, A. A. "Derivation of the Thermodynamic Parameters Involved in the Elucidation of Protein Thermal Profiles"; Biochem. Educ. 1995, 23, 164-167.
- [13] Nelson, D. L.; Cox, M. M. "Lehninger Principle of Biochemistry"; Fourth Ed., Chapter 13, W. H. Freeman & co: New York, 2004.
- [14] Norma, J. "Using Circular Dichroism Collected As a Function of Temperature to Determine the Thermodynamics of Protein Unfolding and Binding Interactions"; Nat. Protoc. 2006, 1, 2527-2535.
- [15] Tonello, F. "Recombinant and Truncated Tetanus Neurotoxin Light Chain: Cloning, Expression, Purification, and Proteolytic Activity"; Protein Expression Purif. 1999, 15, 221-227.